



# БИООРГАНИЧЕСКАЯ ХИМИЯ

том 4 \* № 10 \* 1978

УДК 577.159.02

## КИНЕТИКА РЕАКЦИЙ, КАТАЛИЗИРУЕМЫХ β-ЦИАНОАЛАНИНСИНТАЗОЙ

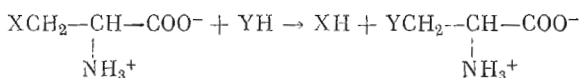
Толоса Э. А., Козлов Л. В., Рабинков А. Г.,  
Горяченкова Е. В.

Институт молекулярной биологии наук СССР, Москва;

Институт биоорганической химии им. М. М. Шемякина  
Академии наук СССР, Москва

Исследовали стационарную кинетику реакции десульфирования *L*-цистеина в присутствии KCN, катализируемой β-цианоаланинсигнатазой, пиридоксаль-*P*-содержащим ферментом, относящимся к подгруппе β-замещающих лиаз. В работе использовали препараты фермента, полученного из проростков синего люпина с уд. акт. 10–15 мкмоль в 1 мин на 1 мг белка. Исходя из начальных скоростей реакции, были определены *V*, *K<sub>s1</sub>*, *K<sub>s2</sub>* и  $\alpha$  в условиях постоянной концентрации *L*-цистеина и вариабельной концентрации KCN и постоянной концентрации HCN и вариабельной — *L*-цистеина. Из полученных данных следует, что в двухсубстратной реакции, катализируемой β-цианоаланинсигнатазой, присоединение субстратов к ферменту взаимозависимо и протекает по неупорядоченному механизму с образованием тройного аминосубстрат-пиридоксаль-*P*-фермент-косубстратного комплекса с  $\alpha > 1$ .

β-Цианоаланинсигнатаза (КФ 4.4.1.9 — *L*-цистеин — сероводород-лиаза, присоединяющая HCN) — пиридоксаль-*P*-зависимый фермент, катализирует реакции β-замещения полярной группы *L*-цистеина и некоторых β-замещенных производных *L*-аланина, согласно следующему уравнению [1]:



В качестве второго субстрата, или замещающего агента (YH), в этих реакциях фермент использует HCN, а также некоторые меркаптосоединения, например 2-меркаптоэтанол. Продуктами реакции помимо H<sub>2</sub>S являются β-цианоаланин или соответственно тиоэфиры цистеина [2, 3].

Установлено, что β-замещающие лиазы по своим катализитическим свойствам — отношению к ингибиторам пиридоксалевых ферментов (*D*- и *L*-циклосерину, 2,5- и 3,4-аминотиолам), характеру лабилизации α-водорода в субстратных аминокислотах и продуктах реакции и т. д. — значительно отличаются от лиаз, относящихся к подгруппе α, β- или γ-, γ-эlimинирующих [4, 5]. Подобное несоответствие в каталитических свойствах этих лиаз обусловлено различными механизмами их действия, а именно: для β-замещающих лиаз в ходе ферментативного превращения субстратов характерно отсутствие промежуточных кетиминного и α, β-ненасыщенного кофермент-субстратных шиффовых оснований.

При действии β-замещающих лиаз на *L*-цистеин ни при каких экспериментальных условиях не наблюдается образования пирувата и аммиака,

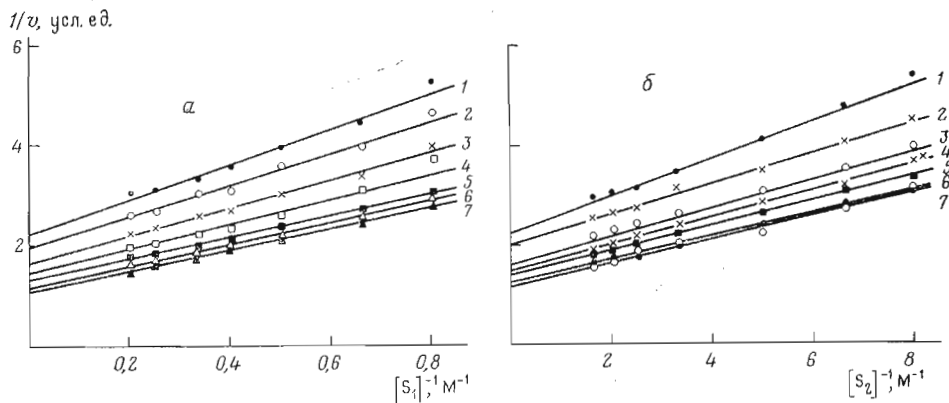


Рис. 1. Графики Лайневиера — Берка для действия цианоаланинсигнатазы в условиях постоянной концентрации КСН  $[S_2]$  (1 — 0,125; 2 — 0,15; 3 — 0,2; 4 — 0,3; 5 — 0,4; 6 — 0,5; 7 — 0,6 мМ) и переменной концентрации *L*-цистеина  $[S_1]$  (1 — 1,25; 2 — 1,5; 3 — 2,0; 4 — 2,5; 5 — 3,0; 6 — 4,0; 7 — 5,0 мМ) и постоянной концентрации КСН (6). Координаты точек графиков описываются уравнением  $y = ax + b$ , где  $a$  — тангенс угла наклона,  $b$  — отсечение на оси ординат

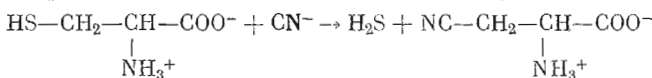
т. е. конечных продуктов реакций  $\alpha$ ,  $\beta$ -элиминирования. Для лиаз  $\beta$ -замещающего типа установлено, что диссоциация  $\alpha$ -водорода в субстратной аминокислоте отсутствует или крайне незначительна в отсутствие второго субстрата (замещающего агента), хотя в образовании «внешнего» пиридоксаль-*P*-альдимина второй субстрат не участвует [6, 7].

Изучение кинетическими методами порядка присоединения субстратов к молекуле фермента и освобождения конечных продуктов дает дополнительную информацию о механизме ферментативной реакции. Клиленд [8, 9] рассматривает следующие возможности последовательности стадий в двухсубстратных ферментативных реакциях:

а) если связывание обоих субстратов реакции предшествует освобождению продуктов — это последовательный механизм (sequential). В случае, когда связывание субстратов и освобождение продуктов подчиняется определенному порядку, механизм называется упорядоченным (ordered). При отсутствии определенного порядка в связывании субстратов и отщеплении продуктов реакции механизм называется неупорядоченным (random);

б) двухсубстратные реакции могут протекать по так называемому пинг-понг- (ping-pong) механизму, при котором после присоединения первого субстрата освобождается первый продукт реакции до присоединения второго субстрата.

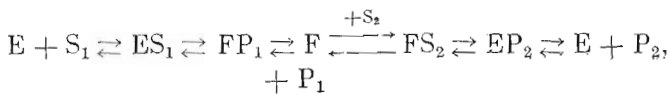
Мы исследовали стационарную кинетику реакции десульфирования *L*-цистеина в присутствии КСН, катализируемой  $\beta$ -цианоаланинсигнатазой:



при рН 8,6 и температуре 30°. Были проведены две серии опытов: в одной серии измеряли начальные скорости реакции при нескольких постоянных концентрациях КСН и переменной концентрации *L*-цистеина. Во второй серии опытов варьировали концентрации КСН при неизменных концентрациях *L*-цистеина. Результаты экспериментов представлены на рис. 1 (а и б) в координатах Лайневиера — Берка.

При рассмотрении характера кривых зависимости начальной скорости реакции от концентраций субстратов графики, на которых отложены зависимости величин  $1/v$  от  $1/[S]$ , на первый взгляд кажутся состоящими из

параллельных прямых в обеих сериях опытов. Это могло бы указывать на протекание реакции по механизму «пинг-понг», характеризующемуся наличием параллельных прямых в координатах Лайнуивера — Берка. «Пинг-понг»-механизм можно представить следующей схемой реакции:



где  $F$  — измененная форма фермента.

Начальная скорость реакции равна [7]:

$$v = \frac{V [S_1] [S_2]}{[S_1] [S_2] + K_{s_1} [S_2] + K_{s_2} [S_1]}.$$

В двойных обратных величинах получаем:

$$\frac{1}{v} = \frac{1}{V} + \frac{K_{s_1}}{V} \cdot \frac{1}{[S_1]} + \frac{K_{s_2}}{V} \cdot \frac{1}{[S_2]},$$

т. е. при построении графиков Лайнуивера — Берка должны наблюдаться серии параллельных прямых, поскольку измеряемые величины  $V$  и  $K_m$  с изменением постоянной концентрации второго субстрата изменяются на одинаковый фактор.

Для постоянной концентрации  $[S_2]$ :

$$V^{S_2} = V \frac{[S_2]}{K_{s_2} + [S_2]} \quad \text{и} \quad K_m^{S_2} = K_{s_1} \frac{[S_2]}{K_{s_2} + [S_2]},$$

для постоянных концентраций  $[S_1]$ :

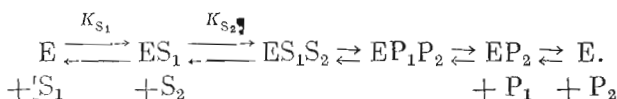
$$V^{S_1} = V \frac{[S_1]}{K_{s_1} + [S_1]} \quad \text{и} \quad K_m^{S_1} = K_{s_2} \frac{[S_1]}{K_{s_1} + [S_1]}.$$

Однако наблюдаемый нами на рис. 1 *a, б* параллелизм кажущийся; в действительности прямые пересекаются в одной точке, лежащей в третьем квадранте.

Кроме того, чтобы фермент катализировал реакцию по «пинг-понг»-механизму, необходимо допустить возможность протекания ферментативной реакции лишь с одним из субстратов. Известно, что KCN или другой ко-субстрат в отсутствие цистеина не претерпевает никаких ферментативных превращений [5]. Если бы фермент осуществлял катализ в присутствии только одного субстрата — *L*-цистеина, можно было бы ожидать в отсутствие замещающего агента ( $S_2$ -субстрата) образования  $H_2S$  или  $\alpha$ -аминоакриловой кислоты (или хотя бы изотопного замещения  $\alpha$ -Н-атома). Однако при действии фермента в отсутствие ко-субстрата не наблюдали образования из *L*-цистеина того или другого из возможных продуктов реакции [3, 4]. Резистентность этих лиаз к N-этилмалеимиду также может указывать на отсутствие коэнзим-иминоакрилатного комплекса в ходе ферментативного превращения субстратов [10, 11].

Учитывая вышесказанное, рассмотрим применимость механизмов последовательных двухсубстратных реакций к экспериментальным данным, полученным при измерении начальных скоростей изучаемой реакции.

Такие реакции, как указывалось выше, могут протекать по упорядоченному или неупорядоченному механизму. Упорядоченный механизм можно описать следующим выражением [8]:



Скорость реакций зависит от концентрации тройного комплекса  $ES_1S_2$ :

$$v = k_{\text{кат}} [ES_1S_2].$$

Для получения полного выражения для скорости реакции необходимо определить значения всех констант диссоциации фермент-субстратных комплексов:

$$K_{S_1} = \frac{[E][S_1]}{[ES_1]} \quad \text{и} \quad K_{S_2} = \frac{[S_2][ES_1]}{[ES_1S_2]}.$$

Исходя из уравнения постоянства общей концентрации фермента

$$[E]_0 = [E] + [ES_1] + [ES_1S_2]$$

и полагая, что мы измеряем начальные скорости реакции по концентрации продуктов, а также что протеканием обратного процесса можно пренебречь, получаем

$$v = \frac{k_{\text{кат}} [E]_0 [S_1] [S_2]}{[S_1] [S_2] + [S_1] K_{S_2} + K_{S_1} K_{S_2}},$$

или, в двойных обратных величинах,

$$\frac{1}{v} = \frac{1}{V} + \frac{K_{S_2}}{V} \cdot \frac{1}{[S_2]} + \frac{K_{S_1} K_{S_2}}{V} \cdot \frac{1}{[S_1]} \cdot \frac{1}{[S_2]}.$$

При построении графиков Лайнуивера — Берка при переменном значении  $[S_1]$  и фиксированных значениях  $[S_2]$  получаем серию прямых, отсекающих на оси ординат значения  $\frac{1}{V} \left( 1 + \frac{K_{S_2}}{[S_2]} \right)$ , а на оси абсцисс — значения  $- \frac{1}{K_{S_1}} \left( 1 + \frac{[S_2]}{K_{S_2}} \right)$ .

Точка пересечения пучка прямых имеет следующие координаты:

$$\left( \frac{1}{[S_1]} \right)_{\text{пер}}^{S_2} = - \frac{1}{K_{S_1}}$$

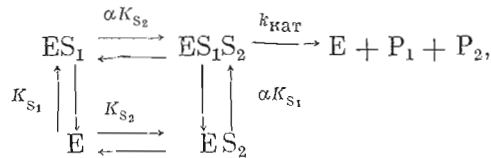
и

$$\left( \frac{1}{v} \right)^{S_2} = + \frac{1}{V}.$$

Следовательно, точка пересечения должна лежать во втором квадранте. При построении графиков Лайнуивера — Берка при переменных значениях  $[S_2]$  и фиксированных значениях  $[S_1]$  получаем серию прямых, отсекающих на оси ординат значение  $1/V$ , а на оси абсцисс —  $1/[K_{S_2}(1 + K_{S_1}/[S_1])]$  и пересекающихся в точке  $(0, 1/V)$  на оси ординат.

Поскольку оба построения (рис. 1), по экспериментальным данным, дают серию прямых, пересекающихся в третьем квадранте, предположение о наличии упорядоченного механизма присоединения субстратов в реакции, катализируемой цианоаланинсинтазой, отпадает.

Неупорядоченный механизм может быть описан следующей схемой



где

$$K_{S_1} = \frac{[E][S_1]}{[ES_1]}, \quad K_{S_2} = \frac{[E][S_2]}{[ES_2]},$$

$$\alpha K_{S_1} = \frac{[ES_2][S_1]}{[ES_1S_2]}, \quad \alpha K_{S_2} = \frac{[ES_1][S_2]}{[ES_1S_2]}.$$

Фактор  $\alpha$  характеризует взаимозависимость связывания субстратов ферментом. При  $\alpha < 1$  образование тройного комплекса предпочтительнее двойных фермент-субстратных комплексов; при  $\alpha > 1$ , наоборот, образование тройного комплекса менее благоприятно по сравнению с образова-

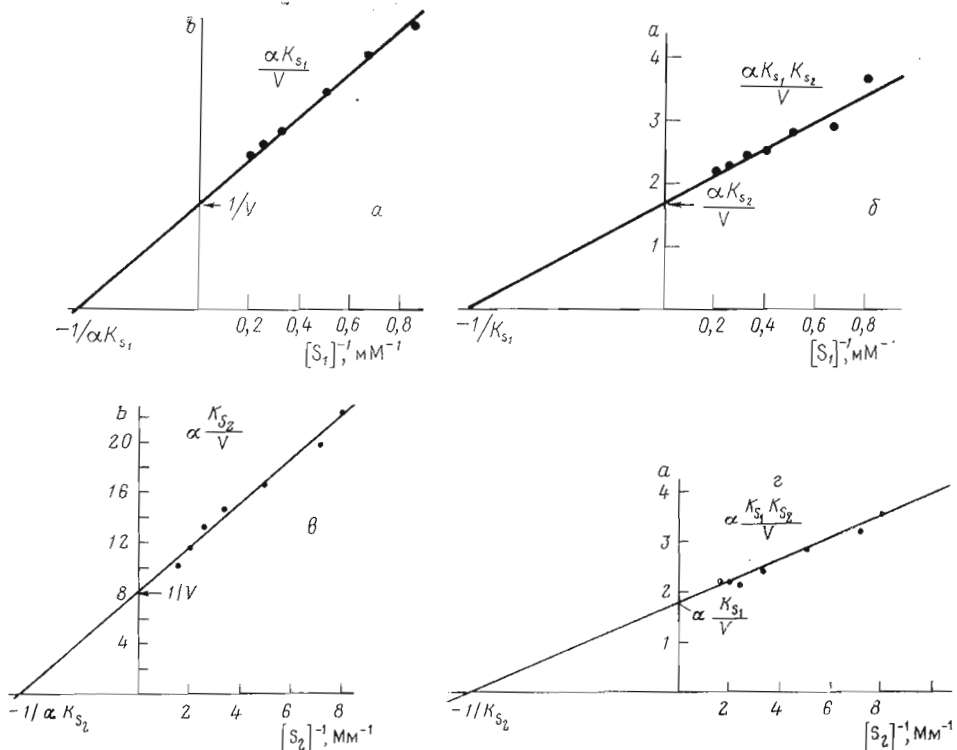


Рис. 2. Графики зависимости отсечений  $b$  на оси ординат ( $a, c$ ) и тангенсов углов наклонов  $\alpha$  ( $b, d$ ) графиков рис. 1 от обратных величин концентраций  $L$ -цистеина  $[S_1]$  ( $a, b$ ) и KCN  $[S_2]$  ( $c, d$ )

нием двойных комплексов. Выражение для начальной скорости реакции, полученное исходя из уравнения материального баланса (или постоянства концентрации фермента)

$$[E]_0 = [E] + [ES_1] + [ES_2] + [ES_1S_2]$$

и определяемое концентрацией  $[ES_1S_2]$

$$v = k_{\text{кат}} [ES_1S_2],$$

дается формулой

$$v = \frac{k_{\text{кат}} [E]_0 [S_1] [S_2]}{[S_1] [S_2] + \alpha K_{S_1} [S_2] + \alpha K_{S_2} [S_1] + \alpha K_{S_1} K_{S_2}},$$

или, в двойных обратных величинах,

$$\frac{1}{v} = \frac{1}{V} + \frac{\alpha K_{S_1}}{V} \cdot \frac{1}{[S_1]} + \frac{\alpha K_{S_2}}{V} \cdot \frac{1}{[S_2]} + \frac{\alpha K_{S_1} K_{S_2}}{V} \cdot \frac{1}{[S_1]} \cdot \frac{1}{[S_2]}.$$

При постоянных фиксированных значениях  $[S_2]$  и вариабельных  $[S_1]$  получаем пучок прямых в координатах Лайнуивера — Берка с отсечениями на оси ординат значения

$$\frac{1}{V} \left( 1 + \frac{\alpha K_{S_2}}{[S_2]} \right),$$

на оси абсцисс — значения  $-\frac{1}{\alpha K_{S_1}} \cdot \frac{[S_2] + \alpha K_{S_2}}{[S_2] + K_{S_2}}$  с тангенсом угла наклона, равным  $\frac{\alpha K_{S_1}}{V} \left( 1 + \frac{K_{S_2}}{[S_2]} \right)$ , и точкой пересечения с координатами  $\left( \frac{1}{[S_1]} \right)_{\text{пер}}^{[S_2]} = -\frac{1}{K_{S_1}}$  и  $\left( \frac{1}{v} \right)_{\text{пер}}^{[S_2]} = \frac{1}{V} (1 - a)$ .

**Константы реакции образования цианоаланина и  $\text{H}_2\text{S}$   
из  $L$ -цистеина ( $S_1$ ) и  $\text{KCN}$  ( $S_2$ ), катализируемой  
 $\beta$ -цианоаланинсингтазой**

Константа	При $[S_1]$ const	При $[S_2]$ const
$V$ , усл. ед.	$120,0 \pm 3,8$	$120,0 \pm 5,5$
$k_{\text{кат}}, \text{с}^{-1}$	$83,2 \pm 2,6$	$83,2 \pm 3,8$
$K_{S_1}, \text{мМ}$	$1,27 \pm 0,17$	$1,27 \pm 0,11$
$\alpha K_{S_1}, \text{мМ}$	$2,12 \pm 0,09$	$2,12 \pm 0,13$
$K_{S_2}, \text{мМ}$	$0,124 \pm 0,015$	$0,124 \pm 0,010$
$\alpha K_{S_2}, \text{мМ}$	$0,206 \pm 0,016$	$0,206 \pm 0,014$
$\alpha$	$1,67 \pm 0,23$	$1,66 \pm 0,18$

Отсюда следует, что точка пересечения при  $\alpha < 1$  лежит во втором квадранте, а при  $\alpha > 1$  — в третьем. При постоянных значениях  $[S_1]$  и вариабельном  $[S_2]$  вследствие симметричности уравнения получаем аналогичное выражение.

Как следует из рис. 1, полученные экспериментальные данные соответствуют неупорядоченному механизму с взаимозависимым связыванием субстратов с  $\alpha > 1$ .

Для определения индивидуальных констант  $V$ ,  $K_{S_1}$ ,  $K_{S_2}$  и  $\alpha$  можно воспользоваться следующим приемом [8]. При построении для фиксированных значений  $[S_2]$  графика зависимости величин отсечений на оси ординат (полученных из графика Лайнуивера — Берка, величина  $b$ ) от  $1/[S_1]$  получается прямая линия, отсекающая на оси ординат значение  $1/V$ , а на оси абсцисс —  $1/\alpha K_{S_2}$  и имеющая тангенс угла наклона  $\alpha K_{S_2}/V$ . При построении графика зависимости величин тангенса угла наклонов (графиков Лайнуивера — Берка) от  $1/[S_2]$  получаем прямую, отсекающую на оси ординат —  $\alpha K_{S_1}/V$ , на оси абсцисс —  $1/K_{S_2}$  и имеющую тангенс угла наклона  $\alpha K_{S_1} K_{S_2}/V$ . Аналогичные константы получены для фиксированных значений  $[S_1]$ . На рис. 2 (а — г) приведены такие построения для полученных экспериментальных данных. Рассчитанные константы приведены в таблице.

Совпадение констант при постоянной концентрации  $[S_1]$  или  $[S_2]$  еще раз свидетельствует об адекватности выбранной модели кинетического механизма. Интересной особенностью этой двухсубстратной реакции является лучшее (в 10 раз) связывание второго субстрата реакции ( $\text{KCN}$ ) по сравнению с основным субстратом — цистеином.

Величина  $\alpha > 1$  делает пучок прямых в координатах Лайнуивера — Берка близким к параллельным прямым, что может, как мы видели выше, привести к заблуждениям относительно механизма присоединения субстратов. Наличие прямых, близких к параллельным, говорит о том, что повышение скорости реакции при увеличении концентрации одного из субстратов всегда одинаково, независимо от концентрации второго субстрата. Это обстоятельство может быть существенным для регуляции скоростей процессов, протекающих в организме.

Из приведенных данных следует, что в реакции, катализируемой  $\beta$ -цианоаланинсингтазой, присоединение субстратов к ферменту взаимозависимо и протекает по неупорядоченному механизму с образованием тройного комплекса аминосубстрат — пиридоксал- $P$ -фермент — косубстрат.

Этот кинетический подход может быть полезен для ориентировочного определения лиаз, принадлежащих к разным подгруппам [12].

### Экспериментальная часть

**Получение фермента.**  $\beta$ -Цианоаланинсингтазу выделяли из проростков синего люпина по ранее описанному методу [2, 3] с небольшими модификациями. В работе использовали препараты фермента 50%-ной чистоты с уд. акт. 17 мкмоль в 1 мин на 1 мг белка  $M 52000$ .

*Кинетические измерения.* Начальные скорости реакции определяли, исходя из линейной зависимости прироста поглощения при 360 нм в первые 3 мин инкубации цианоаланинсинтазы с субстратами в термостатированной кювете регистрирующего спектрофотометра Beckman (США) при 30°, используя шкалу 0,5. Реакционная смесь в объеме 2,0 мл содержала: 200 мкмоль трис-HCl-буфера (рН 8,8), 0,4 мкмоль Pb(CH<sub>3</sub>COO)<sub>2</sub>, L-цистеин (1,25—5,0 мМ), KCN (0,125—0,6 мМ). Реакцию начинали добавлением к реакционной смеси 20 мкл раствора цианоаланинсинтазы (5 мЕ).

Значения кажущихся  $K_m$  определяли методом двойных обратных величин по Лайнуверу — Берку для каждого субстрата в условиях различных концентраций другого, исходя из начальных скоростей реакций. При обработке результатов расчеты значений  $V$  и  $K_s$  проводили, используя метод наименьших квадратов на ЭВМ Hewlett-Packard.

## ЛИТЕРАТУРА

1. Hendrickson H. R., Conn E. E. (1968) J. Biol. Chem., **244**, 2632—2640.
2. Akopyan T. N., Goryachenkova E. V. (1974) Abstracts of USA—USSR Symposium on Biological Pyridoxal Catalysis, Leningrad, p. 9.
3. Akopyan T. N., Braunstein A. E., Goryachenkova E. V. (1975) Proc. Nat. Acad. Sci. USA, **72**, 4—6.
4. Акопян Т. Н., Толоса Э. А., Горяченкова Е. В., Браунштейн А. Е. (1975) Биоорганическая химия, **1**, 1481—1488.
5. Braunstein A. E., Goryachenkova E. V. (1976) Biochimie, **58**, 5—17.
6. Толоса Э. А., Маслова Р. Н., Горяченкова Е. В. (1975) Биохимия, **40**, 248—256.
7. Tolosa E. A., Maslova R. N., Goryachenkova E. V., Willhardt I. H., Braunstein A. E. (1975) Eur. J. Biochem., **53**, 429—436.
8. Cleland W. W. (1963) Biochim. et biophys. acta, **67**, 104—196.
9. Cleland W. W. (1970) in The Enzyme (P. Boyer, ed.), 3rd Ed., v. 2, pp. 1—65, Acad. Press, N. Y.
10. Flavin M., Slaughter C. (1969) J. Biol. Chem., **244**, 1434—1444.
11. Davis L., Metzler D. E. (1972) in The Enzymes (P. Boyer, ed.), 3rd Ed., v. 7, pp. 33—74, Acad. Press, N. Y.
12. Браунштейн А. Е. (1974) Изв. АН СССР. Сер. биол., **5**, 629—642.

Поступила в редакцию  
11.IV.1978

## KINETICS OF $\beta$ -CYANOALANINE SYNTHASE REACTIONS

TOLOSA E. A., KOZLOV L. V., RABINKOV A. G., GORYACHENKOVA E. V.

Institute of Molecular Biology and M. M. Shemyakin Institute  
of Bioorganic Chemistry, Academy of Sciences of the USSR, Moscow

Steady-state kinetics have been studied of L-cysteine desulphydratation in the presence of KCN catalyzed by  $\beta$ -cyanoalanine synthase, a pyridoxal-P dependent enzyme. The enzyme preparations obtained from blue lupine seedlings with specific activity of 10-15  $\mu$ M/min·mg were used. The  $V_1$ ,  $K_{s1}$ ,  $K_{s2}$ , and  $\alpha$  values were determined from the initial rate measurements under conditions of constant L-cysteine and variable KCN concentrations or vice versa. Experimental data showed that substrate binding is mutually dependent and follows sequential random mechanism with the formation of ternary aminosubstrate: pyridoxal-P-enzyme: co-substrate complex characterized by factor  $\alpha > 1$ .